



بررسی زمین‌شیمیایی، سنگ‌ساختی، ژئودینامیک و سن‌یابی پرتوسنجی توده نفوذی آق دره (شمال تکاب) شمال باختر ایران

نوشته: دکتر محمدحسین خلقی* و دکتر منصور ونوقی عابدینی**

Geochemical, Petrological, Geodynamic and Radiometric Age Dating Investigation of Aqdarreh Intrusion Massive (North of Takab) Northwest of Iran

By: Dr. M. H. Kholghi* and Dr. M. Vossoughi Abedini**

چکیده

توده نفوذی آق دره، باتولیتی است با وسعت حدود 30 کیلومتر مربع که در شمال باختر ایران (34 کیلومتری شمال شهرستان تکاب) واقع است. این توده در زون زمین‌ساختی ایران مرکزی قرار دارد و سنگهای پالئوزویک را برپیده است. سن پرتوسنجی باتولیت آق دره به روش K-Ar ، 48/38 میلیون سال تعیین شده که با ماگماتیسم انوسن همزمان است.

توده نفوذی آق دره، از تونالیت، گرانودیوریت، فلدسپار قلیایی، گرانیت و مونزوجرانیت تشکیل شده و کانی تیره آن بیوتیت است. هیچ‌گونه آنکلاوی در آن دیده نمی‌شود.

بررسی ویژگی‌های نمونه‌های مورد مطالعه، شانده‌هده وجود دوگانگی زایشی بین آنها است. این توده در برخی از نمودارهای زمین‌شیمیایی، ویژگی‌های گرانیتوبیدهای تیپ I (کلسیمی-قلیایی) و در برخی از نمودارها، ویژگی‌های گرانیتوبیدهای تیپ A (قلیایی) را نشان می‌دهد. علت این امر، به آغشته‌گی مواد پوسته با ماگمای تشکیل دهنده اولیه این توده نسبت داده شده و ماگمای اولیه گوشته‌ای از نوع قلیایی فرض شده است.

نمودارهای زمین‌شیمیایی عناصر کمیاب نشان می‌دهد که موقعیت زمین‌ساختی توده نفوذی آق دره، با گرانیتوبیدهای پس از کوهزایی (POG) قابل مقایسه است.

کلید واژه‌ها : آق دره، ایران، گرانیت تیپ A آغشته شده، انوسن، بیوتیت، کلسیمی-قلیایی، قلیایی، متالومین - پرآلومین، سن پرتوسنجی.

Abstract

Aqdarreh intrusive body with an area of 30 km² is located in 34 km north of Takab, northwest of Iran. This batholith is situated in Central Iran, cutting Paleozoic rocks. Radiometric age of Aqdarreh batholith by K-Ar method is 48.38 m. a., corresponding to Eocene magmatism.

Aqdarreh intrusive body consists of tonalite, granodiorite, alkali feldspar granite and monzogranite in which the main mafic mineral is biotite. Further more, there is not any enclave in these rocks.

Study of the investigated samples shows that Aqdarreh intrusive rocks have two different generations. Part of the collected samples belongs to I-type granite (calc-alkaline) and others represent the A-type granite (alkaline). It seems that this process is created by the contaminant of alkaline magma by crustal materials.

Geochemistry of the rare earth elements shows that the tectonic setting of the body is compatible with Post Orogenic Granitoids (POG).

Key Word: Aqdarreh, Iran, contaminated A-Type granite, Eocene, biotite, calc-alkaline - alkaline, metaluminous - peraluminous, radiometric age dating.



**- مقدمه -**

صورت رگچه‌هایی نیز در متن سنگ قابل مشاهده است که قسمتهایی از آنها در اثر نیروهای زمین‌ساختی به صورت بودیاز ظاهر شده است. فلدسپارهای قلایی عمدتاً به صورت درشت بلور بوده و اندازه آنها بزرگتر از 3 میلی‌متر است. این بلورها، در سنگ‌های مختلف کم و بیش به صورت شکل‌دار تا نیمه شکل‌دار و از نوع ارتوکلاز، میکروکلین و اورتوز پرستی هستند. مقدار ارتوکلاز پرستی بیشتر از دیگر فلدسپارهای قلایی است. پلازیوکلازها دارای ترکیب شیمیایی سدیمی از گونه الیگوکلاز هستند. پلازیوکلازها شکل‌دار تا نیمه شکل‌دار هستند و اندازه بلورها از 0/5 تا 2 میلی‌متر است. فلدسپارها نزدیک به 35 تا 65 درصد حجم کل سنگ را تشکیل می‌دهند. در بخش‌هایی از توده نفوذی، مقدار فلدسپارهای قلایی، به حد قابل توجهی زیاد شده و میزان پلازیوکلازها به کمتر از 10 درصد میرسد و بدین ترتیب توده نفوذی به سمت آلکالی فلدسپار گرانیت (حاشیه توده نفوذی) متمایل می‌شود. بخش‌هایی از فلدسپارها به کانی‌های رسی و سریسیت تجزیه شده اند. سریسیتها، در اثر نیروهای زمین‌ساختی، تبلور دوباره یافته و به مسکوویت تبدیل شده اند. بیوتیت تنها کانی فرومینیزین این سنگ‌هاست که نیمه شکل‌دار بوده و از گونه بیوتیت‌های سیز و قهوه‌ای است. اندازه بیوتیت 0/2 تا 1 میلی‌متر است و بخش‌هایی از آنها خردشده است. بیوتیتها، 2 تا 7 درصد حجم کل سنگ را تشکیل می‌دهند. در نمونه‌های مورد بررسی توده نفوذی آق دره، آمفیبول وجود ندارد. سریسیت، مسکوویت، کلریت، کانی‌های رسی و کانی‌های تیره، کانی‌های فرعی را تشکیل می‌دهند.

در توده نفوذی آق دره دایک‌هایی ناشی از تفریق ماغمای گرانیتوبیدی به صورت آپلیت و رگه‌های سیلیسی ملاحظه می‌شود و ضمناً ماغمای بازی منطقه به شکل دایک‌های بازی‌تر در توده نفوذی آق دره قابل مشاهده است. هیچ‌گونه آنکلاوی در سنگ‌های این توده نفوذی جود ندارد.

3- نامگذاری

سنگ‌های توده نفوذی آق دره، علاوه بر نامگذاری مودال، با استفاده از تجزیه شیمیایی (جدول شماره 1) نیز نامگذاری شده است. در نامگذاری شیمیائی، از نمودار Le Maitre (1989) QAP (Maitre 1989) براساس کانی‌های نورماتیو، پارامترهای (De La Roche et al. 1980) R2, R1 درصد وزنی اکسیدهای قلایی و سیلیس استفاده شده است (شکلهای 3, 4, 5, 6). انواع نامگذاری در جدول

توده نفوذی آق دره بین طولهای جغرافیایی 46 درجه و 56 دقیقه تا 47 درجه و 2 دقیقه خاوری و عرضهای جغرافیایی 36 درجه و 40 دقیقه تا 36 درجه و 44 دقیقه شمالی و به مساحت تقریبی 30 کیلومترمربع در 34 کیلومتری شمال باختر شهرستان تکاب در شمال باختر ایران قرار دارد(شکل 1).

- آذربایجان جای دارد . توده نفوذی آق دره، در نقشه زمین

شناسی با مقیاس

(Alavi - Naini, M., 1982 : 1 نکاب، به پرکامبرین در نقشه زمین‌شناسی با مقیاس 000,000, 100 : 1 شاهین دز، با توجه به مشاهدات صحرایی و شواهد چینه نگاری، بخش باختری آن به سن پس از پرکامبرین - پالتوژن و با احتمال زیاد به الیگومن (خلقی خسرقی، 1373) و در نقشه زمین‌شناسی با مقیاس 000, 100 : 1 تخت سلیمان به ژوراسیک (?) (باباخانی و قلمقاش، 1376) نسبت داده شده است. در این پژوهش، افزون بر بررسی مسائل سنگ نگاری، زمین شیمی، سنگ زایی و خاستگاه زمین‌ساختی-ماگمایی، سن پرتوسنگی آن نیز معین گردیده است . برای انجام این پژوهش، 33 نمونه سنگی از توده نفوذی آق دره برای تعییه مقاطع نازک برداشت شد و از 25 نمونه (شکل 2) به روش XRF در آزمایشگاه‌های سازمان زمین‌شناسی و اکتشافاتمعدنی کشور، تجزیه عناصر اصلی و فرعی به عمل آمد(جدول 1). همچنین، از نمونه‌هایی به صورت سنگ کل و آنکلیزی (K-Ar) در کشور چین در آزمایشگاه شرکت اکتشافات زمین فیزیکی در Xiangtangzhen, Nanchang, Jiandxi، در چین، سن پرتو سنگی آنها تعیین گردید.

2- سنگ‌نگاری

اجزای سنگ‌های توده نفوذی آق دره در رخنمونهای صحرایی، کم و بیش دگرسانی نشان می‌دهند. رنگ نمونه دستی آنها سفید، خاکستری روشن، قهوه‌ای روشن تا زرد بوده و دارای بافت دانه‌ای هستند. بلورهای کوارتز سنگ‌های این توده نفوذی، سطحی به نسبت خشن ایجاد کرده‌اند. این سنگها در مطالعات میکروسکوپی، بافت دانه‌ای نشان می‌دهند. کوارتز، فلدسپار قلایی و پلازیوکلاز، کانی‌های اصلی آنها را تشکیل می‌دهند. کانی فرومینیزین آنها بیوتیت است. کوارتز 30 تا 40 درصد حجم کل سنگ را تشکیل می‌دهد و بلورهای آن در دو اندازه، بزرگ‌تر از 3 میلی‌متر(فنوکریست) و بلورهای ریزتر دیده می‌شود. بلورهای کوارتز شکل‌دار (گرانوفیر) تا نیمه شکل‌دار و دارای خاموشی موجی است. کوارتز به





حاکی از این است که بخشی از سنگهای این توده، دارای ویژگیهایی از گرانیتوبیدهای تیپ "A" و بخشی نیز دارای ویژگیهایی از گرانیتوبیدهای تیپ "I" هستند. ویژگیهای این توده عبارتند از:

- 1- توده نفوذی آق دره به صورت باتولیت منفرد بوده و ترکیب سنگشناسی آن تونالیت، گرانوویریت، آلکالی فلدرسپار گرانیت و مونزوگرانیت است.
- 2- هیچ گونه آنکلاوی در آن دیده نمی‌شود.
- 3- کانی مافیک این توده، بیوتیت است. فلدرسپارهای قلیایی عموماً به صورت پرتریت هستند. این گرانیتها از گونه هیپرسولووس بوده و به واسطه گذر از مرحله اوتکتیک همرشدی‌های گرانوفیری در آن دیده می‌شود.
- 4- میانگین مقادیر SiO_2 ، 76 درصد و مجموع قلیایی، 7/81 درصد است.
- 5- از لحاظ شاخص آلومین، پرآلومین تا پرقلیایی و در نورم CIPW کانیها، دیوپسید وجود ندارد و یا در بعضی از نمونه‌ها بسیار جزئی است. میانگین کرندوم 1/29 درصد است.
- 6- درصد وزنی Na_2O در این توده نفوذی 4/23 درصد است.
- 7- میانگین مجموع اکسید های $\text{FeO}(\text{t})+\text{MgO}+\text{MnO}+\text{TiO}_2$ +نزدیک به 2/17 درصد است. تغییرات عناصر در نمودارهای دوتایی ، خطی است.
- 8- در نمودارهای نسبت SiO_2 در برابر Zr و Y (Furnes et al. 1996) سنگهای مورد مطالعه در محدوده گرانیتها قابل مقایسه با انواع I و A قرار می‌گیرند اما گرایش به سمت گرانیتها نوع I بیشتر است (شکل‌های 13 و 14).
- 9- نمونه‌هایی مورد بررسی، با گرانیتها تیپ A و I در نمودارهای چند عنصری (عنکبوتی) که توسط Whalen et al. (1987) ارائه گردیده، مقایسه شده است. در این نمودارها، یک سری از عناصر با گرانیتوبیدهای تیپ A و یک سری دیگر از عناصر با گرانیتوبیدهای تیپ I مطابقت دارد (شکل‌های 15 و 16).
- 10- در نمودار $\text{Y}+\text{Ce}+\text{Nb}+\text{Zr}$ در برابر $(\text{K}\text{O}_2+\text{N}\text{a}_2\text{O})/\text{CaO}$ (Whalen et al. 1987) بیشتر نمونه‌های این توده نفوذی در محدوده گرانیتها تیپ "A" و تعدادی نیز بیرون از آن هستند (شکل 17).

4-4) مطالعات زمین ساختی ماکمایی توده نفوذی آق دره

به منظور دست یابی به محیط زمین ساختی تشکیل توده نفوذی آق دره، از پژوهش‌های Maniar and Piccoli (1989)

شماره 2 نشان داده شده است. محدوده ترکیب شیمیایی این سنگها، عمدتاً تونالیت، گرانوویریت، آلکالی فلدرسپار گرانیت و مونزوگرانیت است.

4- زمین‌شیمی توده نفوذی آق دره

برای بررسی زمین‌شیمیایی سنگهای مورد مطالعه، از 25 نمونه توده نفوذی آق دره به روش XRF در آزمایشگاه‌های سازمان زمین‌شناسی و اکتشافات معدنی کشور تجزیه عناصر اصلی و فرعی به عمل آمد. نتیجه آزمایش در جدول شماره 1 آورده شده است.

1-4) ارتباط زایشی سنگهای مورد مطالعه

برای مشخص شدن قرایت زایشی بین نمونه‌های مورد بررسی، از نمودارهای تغییرات عناصر اصلی و کمیاب در برابر SiO_2 استفاده شد (Harker, 1909). باوجود اینکه تمام نمونه‌های موجود به یک توده تعلق دارند، اما در بیشتر نمودارها، نمونه‌ها پراکنده نشان می‌دهند (شکل‌های 7 و 8). علت این مسئله با احتمال زیاد پدیده آشتگی در ماقمای تشکیل دهنده توده آق دره است که در مباحث بعدی توضیح داده خواهد شد.

2-4) بررسی سری ماکمایی و شاخص آلومین در سنگهای توده نفوذی آق دره

برای بررسی سری ماکمایی و یا ماهیت ماکمای تشکیل دهنده سنگهای مورد مطالعه از نمودارهای (Irvine & Baragar, 1971) استفاده شده است. در نمودار SiO_2 در برابر $\text{K}_2\text{O}+\text{Na}_2\text{O}$ نمونه‌ها در محدوده نیمه قلیایی (شکل 9) و در نمودار AFM در محدوده کلسیمی - قلیایی قرار می‌گیرند (شکل 10). براساس مطالعات شاخص آلومین در نمودار Maniar and Piccoli (1989) که بر اساس A/A/CNK مقابله A/NK می‌باشد، نمونه‌ها عمدتاً در محدوده پرآلومین که متعلق به سنگهای کلسیمی - قلیایی (محیط‌های قاره‌ای - برخورد قاره‌ای) و مقابله نیز در محدوده پرقلیایی متعلق به سنگهای قلیایی (مربط به کافتهای قاره‌ای و یا فراخاست خشکی زایی قاره‌ای) قرار می‌گیرند (شکل 11). تعلق این سنگها به این دو محدوده در نمودار پیشنهادی (Shand, 1974) نیز به خوبی نمایان است(شکل 12).

3-4) بررسی تیپ توده نفوذی گرانیتوبیدی آق دره

در مطالعات سنگ نگاری، به علت عدم وجود کانیهای دگرگونی، آنکلاو و ویژگیهای دیگر در رابطه با گرانیتها تیپ S، این سنگها با گرانیتها تیپ A و I مقایسه شده اند. بررسی زایشی سنگهای گرانیتوبیدی توده نفوذی آق دره





ماگمای اسیدی و تشکیل مذاب غنی از سیلیسیم و قلیایی باعث شده که سرانجام به شکل توده نفوذی سرشار از قلیایی (نوع A) ظاهر می‌گردد.

5- سن توده نفوذی آق دره

توده نفوذی آق دره، در نقشه زمین شناسی با مقیاس 1:000,250 : 1 تکاب، به گرانیت دوران به سن پرکامبرین نسبت داده شده است (Alavi - Naini, M., 1982). در نقشه زمین شناسی با مقیاس 1:100،000، شاهین در، با توجه به موقعیت چینه نگاری و بریده شدن رسوبات پالئوزویک توسط توده نفوذی آق دره، سن پس از کامبرین - پالئوزن و احتمالاً الیگوسن برای بخش باخته‌ی آن پیشنهاد شده است (خلقی خسرقی، 1370 و 1373). در نقشه زمین شناسی به مقیاس 1:100 : 1 تحت سلیمان، بخش خاور توده نفوذی آق دره به زوراسیک (?) نسبت داده شده است (باباخانی و قلمقاش، 1376). در این پژوهش، از مونزوگرانیت‌ها که سالم بوده و تحت تاثیر نیروهای زمین ساختی قرار نگرفته‌اند به روش K-Ar تعیین سن پرتوستنجی به عمل آمده و سنی معادل 48/38 میلیون سال برای سنگ کل و 66/32 میلیون سال برای تبلور تک بلورهای فلدسپار قلیایی تعیین گردید. بر این اساس، انجماد نهایی توده نفوذی آق دره با قدمت فوق، با ماگماتیسم ائوسن همزمان است.

6- نتیجه‌گیری

توده نفوذی آق دره در زون ساختاری ایران مرکزی واقع است. بر اساس شواهد صحرایی و تعیین سن پرتوستنجی بر روی سنگ کل و فلدسپارهای قلیایی، سن آنها معادل ائوسن (48/38 میلیون سال) است. این توده باگسترش حدود 30 کیلو متر مربع در 34 کیلومتری شمال شهرستان تکاب در شمال باختر ایران واقع است و عمدتاً از تونالیت، گرانودیوریت، آلکالی فلدسپار گرانیت و مونزوگرانیت تشکیل شده است. بررسی کانی‌شناسی و دیگر ویژگی‌های نمونه‌های مورد مطالعه، دو نوع سنگ گرانیت‌وییدی معرفی می‌کند. این توده در برخی از نمودارهای زمین‌شیمیایی ویژگی‌های گرانیت‌وییدهای تیپ I (کلسیمی - قلیایی) و در برخی از نمودارها ویژگی‌های گرانیت‌وییدهای تیپ A (قلیایی) را نشان می‌دهد. علت این امر، همان گونه که اشاره شد به احتمال زیاد نتیجه هجوم ماگمای بازی گوشه‌ای به درون پوسته، ذوب پوسته و آمیختگی ماگمای اسیدی و بازی و در نتیجه تشکیل انواع I خواهد بود. ضمناً تمرکز ماگمای اسیدی غنی از قلیایی‌ها نوع A را در منطقه ایجاد کرده و

برمنای عناصر اصلی استفاده شد (شکل 18). مانیار و پیکولی (1989) با استفاده از عناصر اصلی و کمیاب، گرانیت‌وییدهای را به هفت گروه تقسیم کرده‌اند. از میان هفت گروه، گروههای POG,CCG,CAG,IAG در رده گرانیت‌وییدهای کوهزاری و گروههای CEUG,RRG در رده گرانیت‌وییدهای ناکوهزاری (AG) قرار می‌گیرند.

براساس تقسیم‌بندی‌های بالا، نمونه‌های توده نفوذی آق دره پراکنده‌ی نشان OP می‌دهند اما بیشتر به قطب گرانیت‌وییدهای پس از کوهزاری تمایل دارند. این ویژگی، تا حدودی در نمودار تغییرات پارامترهای R1 و R2 برای تفکیک محیط زمین ساختی گرانیت‌وییدهای Bachelor and Bowden (1985) نیز تائید می‌شود (شکل 19).

نتیجه بررسی ویژگی‌های زمین‌شیمیایی نمونه‌های مورد بررسی نشان می‌دهد که ترکیب شیمیایی ماگمای تشکیل دهنده سنگ‌های مورد مطالعه از دوگانگی خاصی برخوردار است. یک سری از این سنگ‌ها ماهیت قلیایی و سری دیگر ماهیت کلسیمی-قلیایی نشان می‌دهند. نمودارهای استفاده شده حاکی از آن است که برخی از سنگ‌های توده نفوذی آق دره، قابل مقایسه با گرانیت‌های نوع A و برخی نیز با نوع I هستند. به نظر می‌رسد ماگمای تشکیل دهنده این سنگ‌ها، ناشی از آغشتگی یک ماگمای بازی به مواد پوسته ای باشد که شاید دایکهای بازی موجود، نشانه‌ای از ماگماتیسم بازی مزبور باشد. این آغشتگی باعث شده است که ماگما، ماهیت قلیایی خود را کم و بیش از دست داده و به سمت ماگمای کلسیمی-قلیایی سوق پیدا کند.

کولینز و دیگران (1982) و والن و دیگران (1987) بر این باروند که ترکیب گرانیتهای تیپ "A" تغییرات قابل توجهی داشته و بتدریج به سمت گرانیتهای تیپ "I" و "S" متمایل می‌شوند. آنها علت این امر را اختلاف ترکیب سنگ‌های منشاء می‌دانند.

وجود دایکهای بازی در منطقه، نشانگر فعالیت ماگماتیسم بازی بوده و این مسئله را تداعی می‌کند که می‌تواند یکی از عوامل ذوب مواد پوسته ای و همچنین آغشتگی کننده ماگماتیسم اسیدی در منطقه باشد. به این ترتیب که ماگمای گوشته‌ای (بازالتی) ضمن نفوذ در پوسته، باعث ذوب بخشی و ایجاد ماگمای اسیدی شده و سپس خود با این ماگما آمیخته شده است.

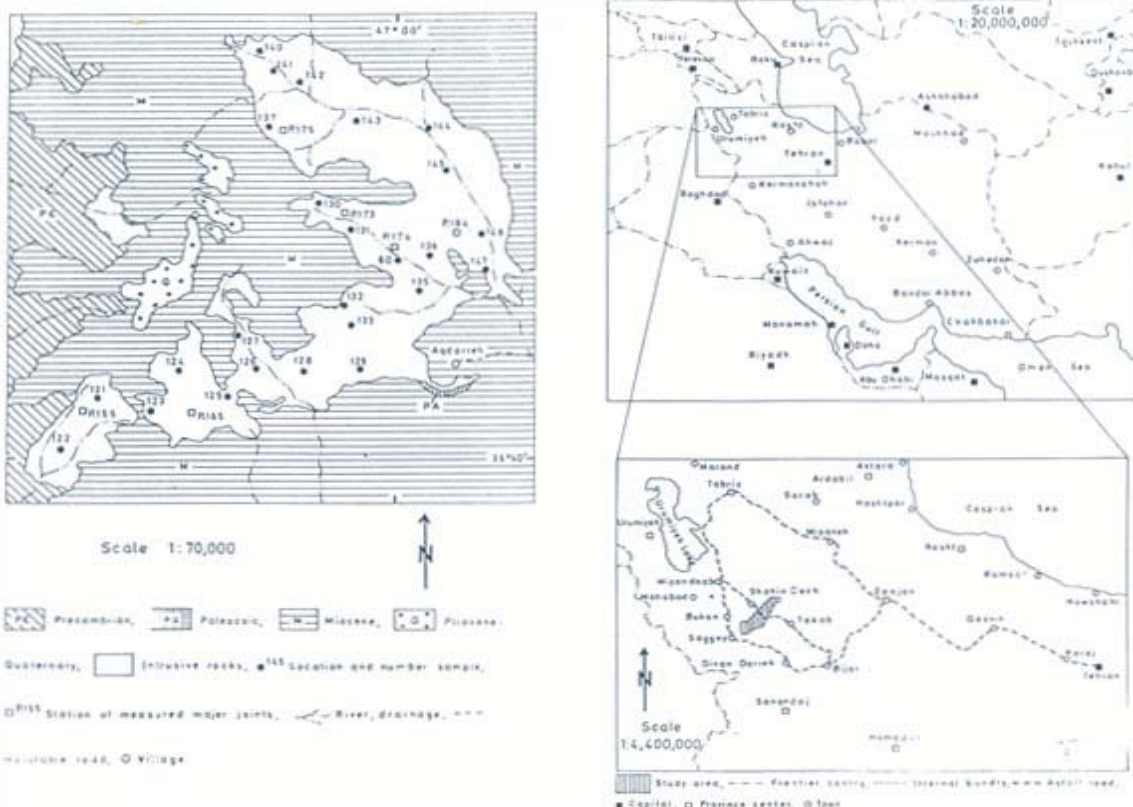
(نوع I). ماگمای تشکیل دهنده دایکهای بازی در توده نفوذی آق دره، می‌تواند نماینده ماگمای گوشته‌ای باشد که در اواخر جایگیری توده گرانیت‌وییدی و پس از سرد شدن آن نیز در توده تزریق شده است. ضمناً تمرکز مواد قلیایی در





است، اما برخی از ویژگی‌های زمین‌شیمیائی ماگمای قلیایی اولیه (وجود آپلیت و رگه‌های کوارتز) هنوز در توده آق دره به طور ضعیف بر جا مانده و به همین علت دوگانگی زمین شیمیائی در سنگهای توده مورد مطالعه مشاهده می‌شود. از نظر ژئودینامیکی، پس از فاز لارامید و کاهش تنشهای فشارشی ناشی از این فاز، شکستگی عمیق موجب صعود ماگمای بازی گوشته به درون پوسته در شمال باختر ایران شده است و به دنبال گرم شدن پوسته، ماگمای اسیدی تشکیل شده است و آمیختگی آنها، انواع سنگهای نفوذی را ایجاد کرده است. لذا این توده نفوذی (آق دره) از دیدگاه زمین‌ساختی با گرانیتوییدهای پس از کوهزائی (POG) (پس از لارامید) قابل مقایسه است.

و موجب آغشتگی مواد بیگانه با ماگمای تشکیل دهنده اولیه این توده شده است. وجود دایکهای بازی در توده نفوذی آق دره، یکی از دلائل آغشتگی ماگمای اولیه و آمیختگی آن با ماگمای گوشه‌ای است. بدین ترتیب که ماگمای گوشه‌ای ضمن نفوذ به درون پوسته، باعث ذوب و ایجاد ماگمای اسیدی شده و سپس ماگمای بازی و اسیدی خود با آن آمیخته شده است. به نظر میرسد آمیختگی ماگمای گوشه‌ای با ماگمای اسیدی، باعث شده که ماگمای اسیدی نوع I حاصل شود و اشتقاء بخشی از ماگمای اسیدی سرشار از قلیایی (ناشی از تفریق و عوامل دیگر) موجب ظهور یک ماگمای نسبتاً غنی از قلیایی (نوع A) در منطقه شده و لذا ماگما ویژگی اولیه خود را از دست داده و کم و بیش ویژگی ماگمای کلسیمی-قلیایی را به دست آورده

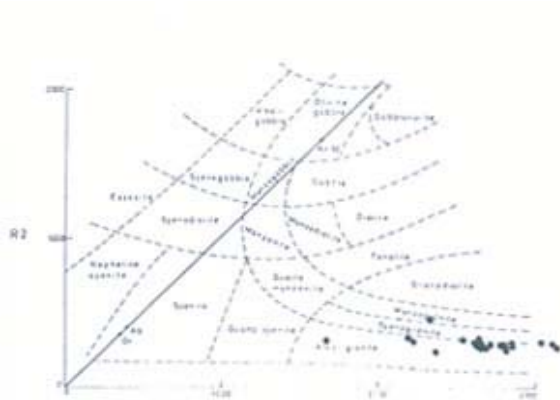


شکل ۱- موقعیت جغرافیایی توده نفوذی آق دره و راههای جغرافیایی نمونه‌های مورد بررسی.

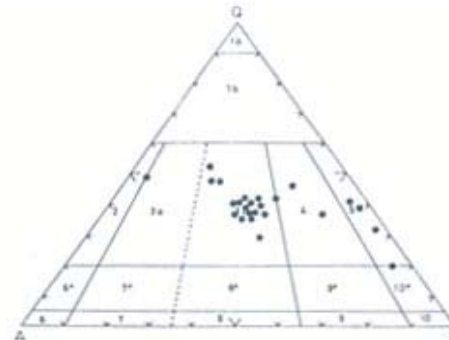
ارتباطی آن.



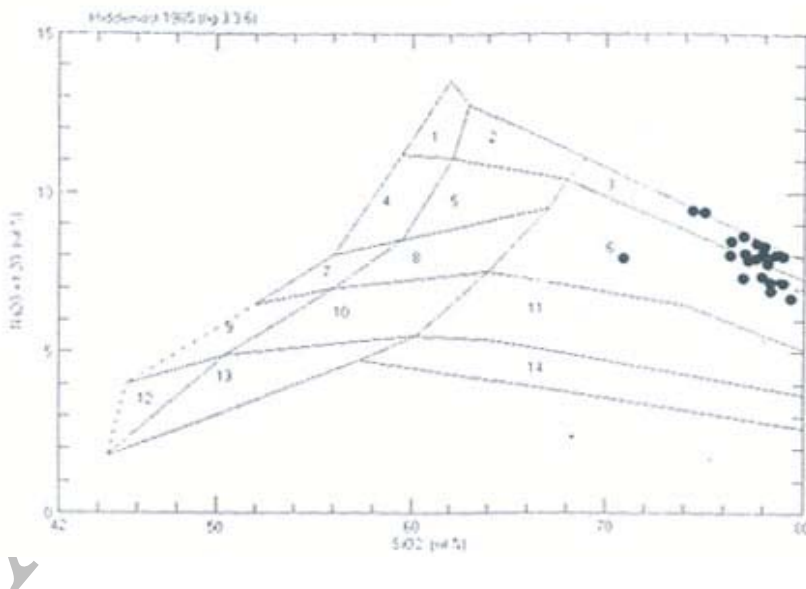
جدول شماره 1- نتایج آنالیزهای شیمیابی، پارامترهای R1 و R2 و محاسبه نورم نمونههای توده نفوذی آق دره



شکل 4- موقعیت قرارگیری نمونه های توده نفوذی آق دره در دیاگرام R1 و R2 برای طبقه بندی سنگ های آذرین درونی دولاروش و همکاران - (1980) (علام شبيه شکل -3).



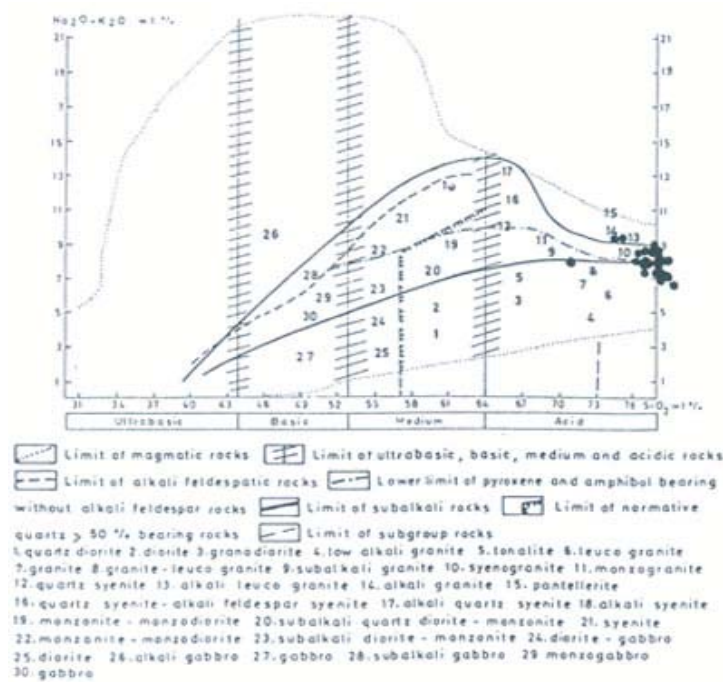
شکل 3- موقعیت قرارگیری نمونه های توده نفوذی آق دره (نقاط تیره) در دیاگرام QAP (LeMaitre- 1990).
قلمروها : 1- کوارتزولیت (سیلکسیت) 2- گرانیتوبیدهای غنی از کوارتز 3- آلکالی فلدسپار گرانیت 4- سینیوگرانیت 5- مونزوگرانیت 6- گرانودیوریت 7- تونالیت 8- کوارتز آلکالی فلدسپار سینیت 9- کوارتز مونزوئیت 10- کوارتز مونزو دیوریت - کوارتز مونزو گابرو 11- کوارتزدیوریت - کوارتز گابرو 12- آلکالی فلدسپارسینیت 13- سینیت 14- مونزوئیت 15- مونزو دیوریت - مونزو گابرو 16- دیوریت - گابرو.



شکل 5- دیاگرام Middlemost - 1985 برای تقسیم بندی انواع سنگ های آذرین درونی (1985) و موقعیت قرارگیری نمونه های توده نفوذی آق دره بر روی این دیاگرام (علام شبيه شکل -3).

قلمروها: 1- آلکالی فلدسپار سینیت 2- آلکالی فلدسپار کوارتز کوارتز 3- آلکالی فلدسپار گرانیت 4- سینیت 5- کوارتز سینیت 6- گرانیت 7- مونزوئیت 8- کوارتز مونزوئیت 9- مونزو دیوریت 10- کوارتز مونزو دیوریت 11- گرانودیوریت 12- دیوریت / گابرو 13- تونالیت.





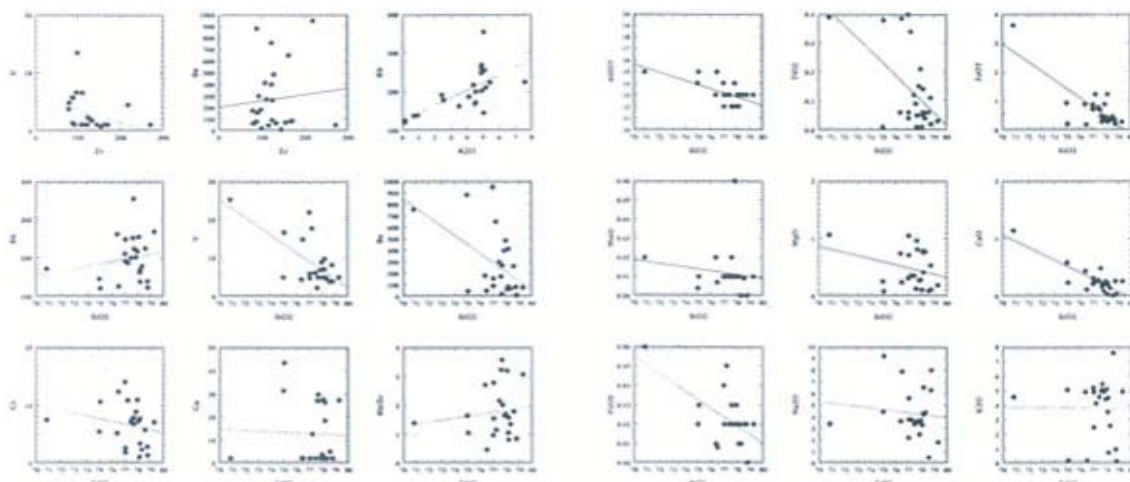
شکل 6- دیاگرام $\text{SiO}_2 + \text{K}_2\text{O} + \text{Na}_2\text{O}$ در مقابل $\text{Ni}_2\text{O} + \text{CaO}$ برای تقسیم بندی انواع سنگ های آذرین درونی (Anderiva et al- 1987) و موقعیت قرارگیری نمونه های توده نفوذی آق دره بر روی دیاگرام (علام شبه شکل 3).

جدول شماره 2- نامگذاری نمونه های توده نفوذی آق دره

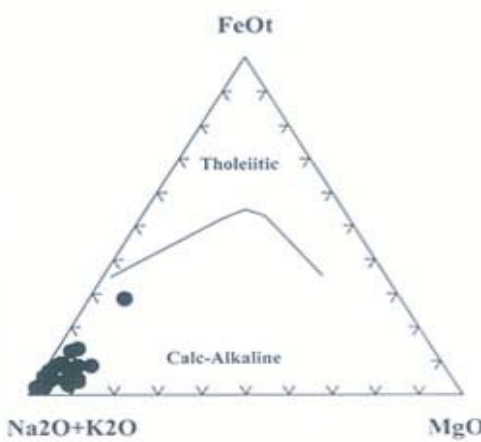
No Sample	De La Roche & et al. 1980	Middlemost 1985	Le Maître 1989	Anderiva E.D., Bougatikov O.A. & et al. 1981	
60	R_1 / R_2 alkali granite	$\text{SiO}_2 / \text{K}_2\text{O} + \text{Na}_2\text{O}$ granite	Q, A, P tonalite	Oxides leuco granite	$\text{SiO}_2 / \text{K}_2\text{O} + \text{Na}_2\text{O}$ —
121	alkali granite	—	monzo granite	alkali leuco granite	syenogranite
122	alkali granite	—	monzo granite	alkali leuco granite	alkali leuco granite
123	alkali granite	—	monzo granite	alkali leuco granite	syenogranite
124	alkali granite	alkali feldspar granite	monzo granite	alkali leuco granite	syenogranite
125	alkali granite	alkali feldspar granite	monzo granite	alkali leuco granite	alkali leuco granite
126	alkali granite	alkali feldspar granite	monzo granite	alkali leuco granite	syenogranite
127	alkali granite	alkali feldspar granite	quartz diorite	alkali leuco granite	alkali leuco granite
128	—	granite	quartz granite	leuco granite	—
129	—	granite	granodiorite	leuco granite	—
130	alkali granite	alkali feldspar granite	monzo granite	alkali leuco granite	syenogranite
131	alkali granite	alkali feldspar granite	granodiorite	leuco granite	syenogranite
132	syenogranite	alkali feldspar granite	monzogranite	alkali leuco granite	syenogranite
133	alkali granite	granite	tonalite	leuco granite	—
135	alkali granite	alkali feldspar granite	monzogranite-granodiorite	leuco granite	leuco granite
136	—	granite	monzogranite	leuco granite	leuco granite
137	alkali granite	alkali feldspar granite	monzogranite	leuco granite	leuco granite
140	alkali granite	alkali feldspar granite	tonalite	leuco granite	—
141+	—	—	—	alkali basalt	alkali basalt
142	alkali granite	alkali feldspar granite	monzogranite	leuco granite	syenogranite
143	alkali granite	granite	monzogranite	leuco granite	leuco granite
144	monzogranite	granite	monzogranite	granite	granite
145	alkali granite	granite	tonalite	leuco granite	syenogranite
146	—	granite	monzogranite	leuco granite	leuco granite
147	—	alkali feldspar granite	alkali feldspar granite	leuco granite	—

(+)Dike

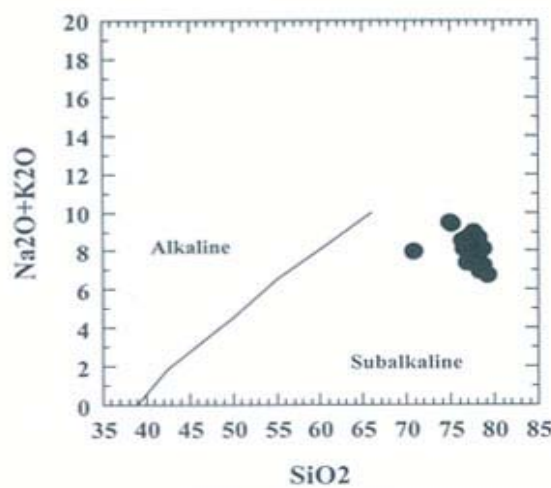




شکل 7- دیاگرام اکسید - اکسید (Harker 1909) و موقعیت نمونه های توده نفوذی آق دره در مقابل SiO_2 و موقعیت نمونه های توده نفوذی آق دره بر روی آن (علایم شبیه شکل 3).

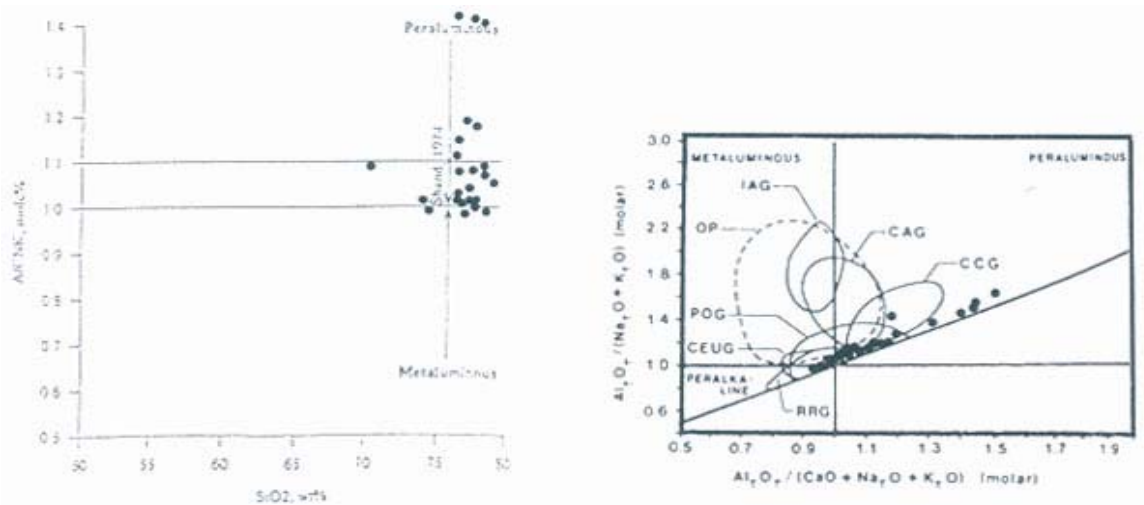


شکل 10- $A = \text{Ni}_2\text{O} + \text{K}_2\text{O}$ که سه قطب AFM و $F = \text{FeO}(t)$ و $M = \text{MgO}$ است و در آن محدوده کالکوآلکالن و تولئیت از هم تفکیک شده است (Irvine & Baragar – 1971) و موقعیت نمونه های توده نفوذی آق دره بر روی آن.

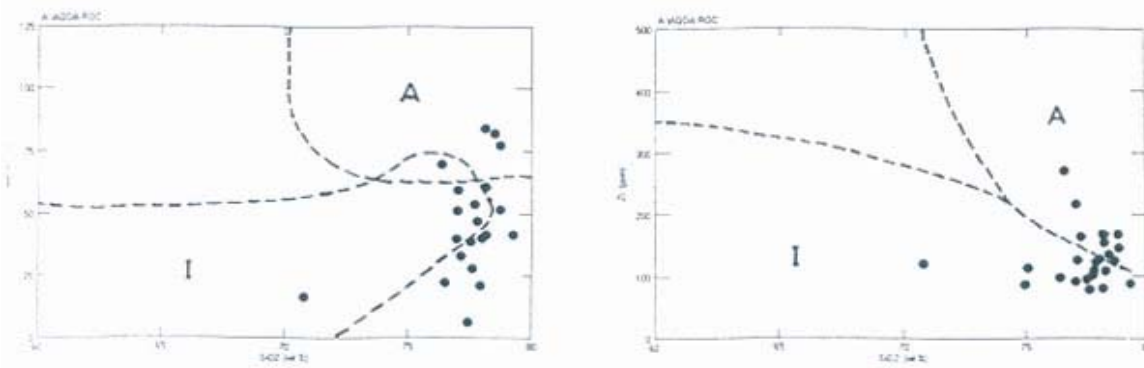


شکل 9- نمودار تغییرات مجموع آلکالن در مقابل سیلیسیس که در آن دو محدوده آلکالن و ساب آلکالن از یکدیگر جدا شده اند (Irvine & Baragar – 1971) و موقعیت نمونه های توده نفوذی آق دره بر روی آن.





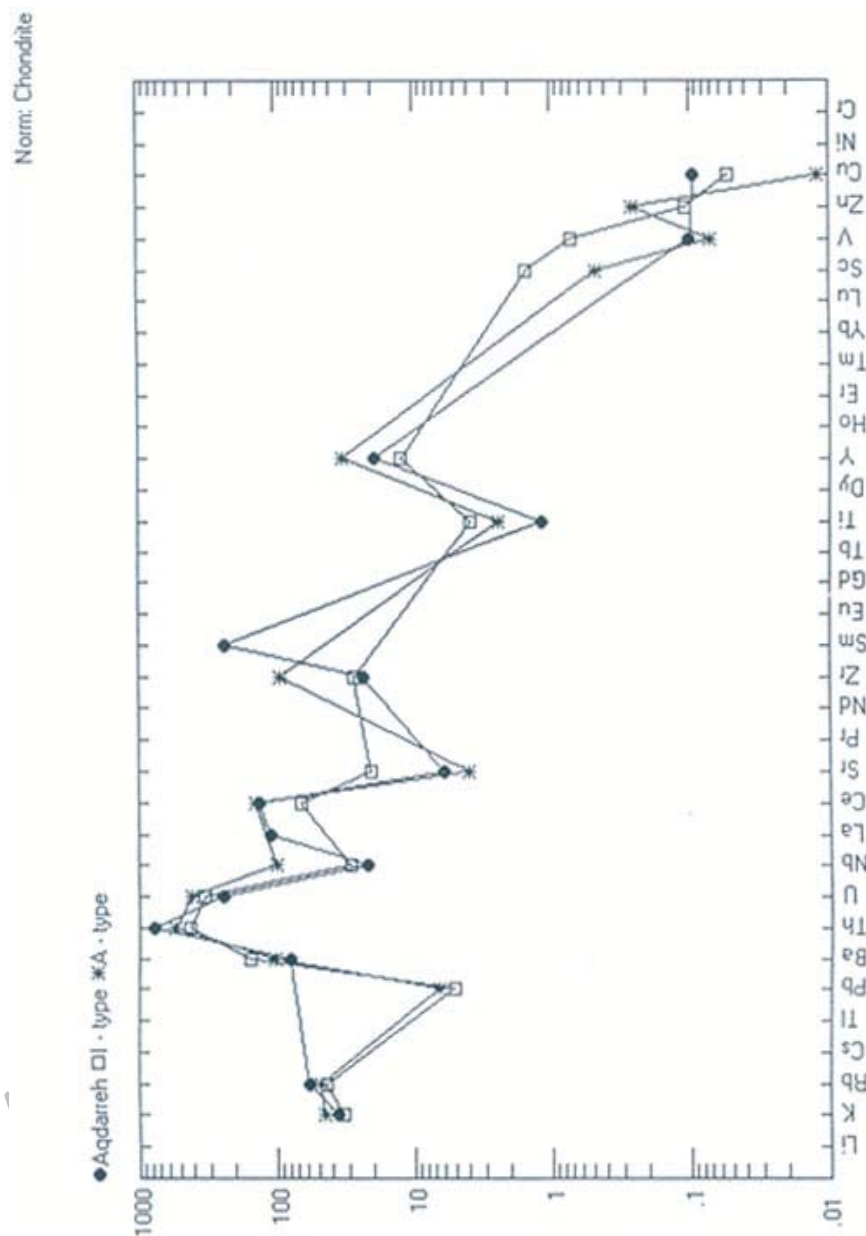
شكل 11- موقعیت نمونه های توده نفوذی آق دره در دیاگرام شکل 12- موقعیت نمونه های توده نفوذی آق دره در دیاگرام (Shand - 1974) SiO₂ / A/CNK در مقابل A/NK (Maniar & Piccoli- 1989) A/CNK



شكل 13- دیاگرام تغییرات SiO₂ در مقابل عنصر Zr برای شکل 14- دیاگرام تغییرات SiO₂ در مقابل عنصر Zr برای تعکیک تیپ های A و I (Furnes & et al., 1996)

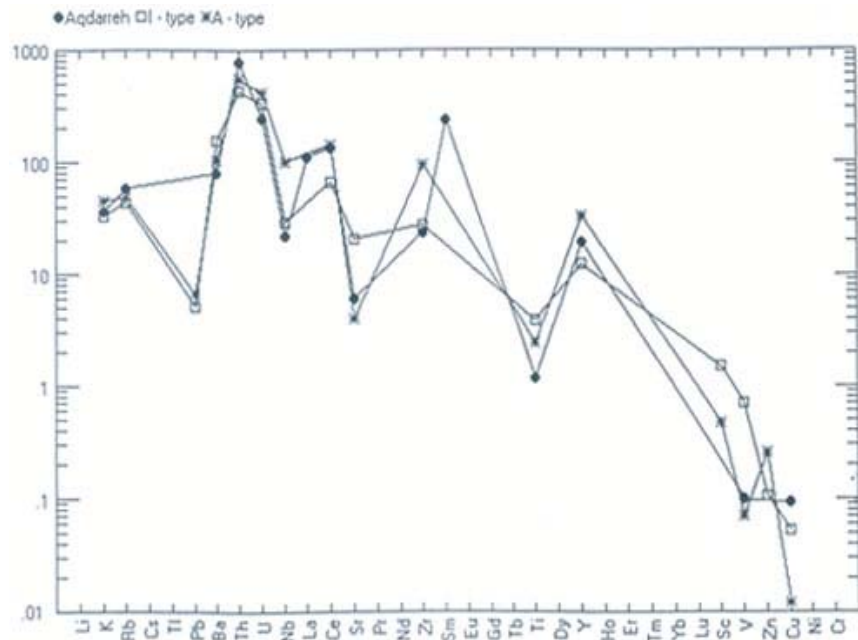
تعکیک تیپ های A و I (Furnes & et al., 1996)



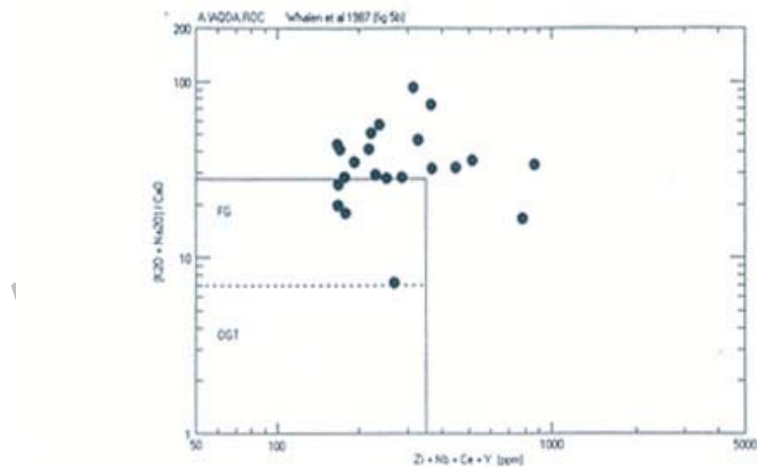


شكل 15- دیاگرام چند عنصر (Spider Diagrams) و موقعیت میانگین مقادیر عناصر کمیاب نمونه های توده نفوذی آف دره و گرانیت های تیپ "A" و "I" (Whalen et al.-1987) عادی شده بر پایه ترکیب کندریتها.



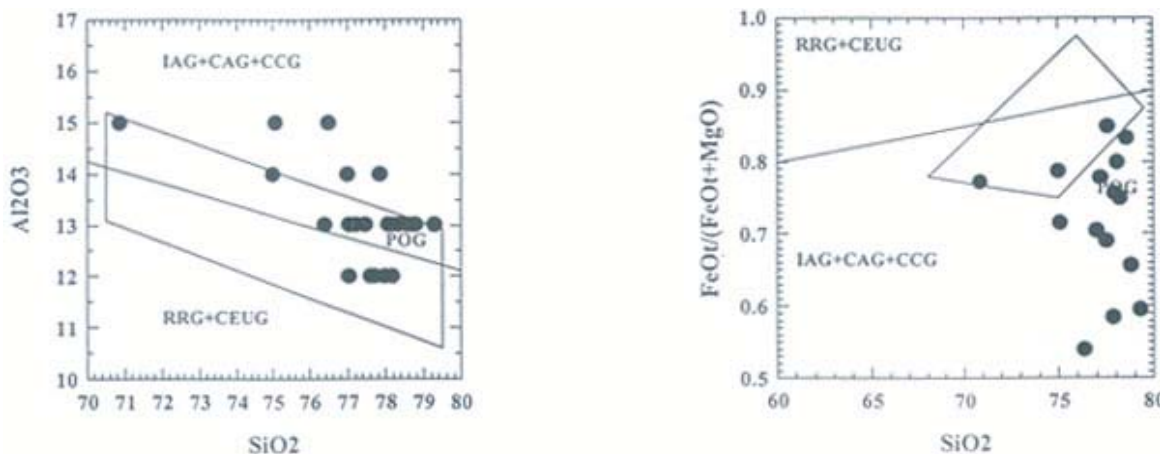


شکل 16- دیاگرام چند عنصری (Spider Diagrams) و موقعیت میانگین مقادیر عناصر کمیاب نمونه‌های توده نفوذی آف دره و گرانیت‌های تیپ "A" و "I" (Whalen et al. 1987)

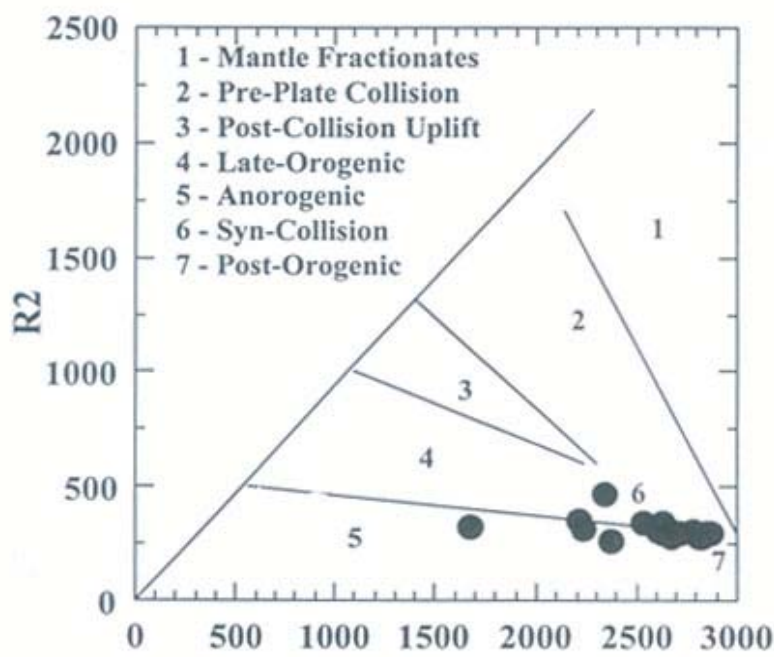


شکل 17- دیاگرام تغییرات $\text{Y} + \text{Ce} + \text{Nb} + \text{Zr}$ در مقابل $(\text{K}_2\text{O} + \text{Na}_2\text{O})/\text{CaO}$ (جهت تفکیک گرانیت‌های تیپ "A" گرانیت‌های تفریق یافته (FG) و گرانیت‌های تفریق نشده تیپ‌های S,I,M (OGT) (Whalen et al.- 1987))





شکل 18- دیاگرام های تغییرات SiO_2 در مقابل Al_2O_3 جهت تفکیک محیط تکتونیکی گرانیتوییدها و موقعیت نمونه های توده نفوذی آق دره بر روی آنها. (Maniar & Piccoli-1989)



شکل 19- دیاگرام تغییرات پارامترهای R1 و R2 و جهت تفکیک محیط تکتونیکی گرانیتوییدها (Batchelor & Bowden – 1985) موقعیت نمونه های توده نفوذی آق دره بر روی آن .





کتابنگاری

- بابا خانی، قلمقاش، 1376- نقشه زمین شناسی ورقه 000 ، 100 : 1: تخت سلیمان ، سازمان زمین شناسی کشور.
- خلقی خسروی، 1380 - بررسی پترولوزی، ژئوشیمیابی و تعیین سن توده های نفوذی شمال باختر ایران (تکاب - شاهین دز)، پایان نامه دکتری ، انسستیتو زمین شناسی ، آکادمی علوم جمهوری آذربایجان، باکو، 358 صفحه .
- خلقی خسروی، 1379 - نقشه زمین شناسی ورقه 000 ، 100 : 1 ایرانخواه (چاپان)، سازمان زمین شناسی و اکتشافات معدنی کشور .
- خلقی خسروی، 1373 - نقشه زمین شناسی ورق 100,000 : 1 شاهین دز، سازمان زمین شناسی و اکتشافات معدنی کشور.
- خلقی خسروی، 1370 - متامورفیسم، پلوتونیسم و استراتیگرافی شرق شاهین دز، پایان نامه کارشناسی ارشد ، دانشکده علوم ، دانشگاه تهران ، 260 صفحه .

References

- Alavi – Naini, M., Hajian, J., Amidi , A., Bolurchi, H., 1982 - Geology of Takab - Saein Qalel :Explanatory note of 1:250,000 map of Takab quadrangl , Geological Survey of Iran , Report No. 50.
- Anderiva, E.D. et al., 1981 - Magmatic rocks, Moscova, Nedna Publications.
- Batchelor, R. A. and Bowden, P., 1985 - Petrogenetic interpretation of granitoid rocks series, using multicationic parameters, Chem. Geol., No. 48, 43-55.
- Collins, W. Y., Beams, S. D., White, A.J.R. & Chappell, B.W., 1982 - Nature and origin of A - type granite with particular refrence to south eastern Australia (Con. Min. Petrol., Vol. 80).
- De la Roche, H., Leterrier, J., Grand Claude, P., Marcher, M., 1980 – A classification of Volcanic and Plutonic rocks using R1 - R2 diagrams and major element analysis, chem .Geol ., Vol. 29: 183 - 210.
- Furnes, H., El - Sayed, M., M., Khalil, S.O., & Hassanen, M.A.,1996 - Pan - African magmatism in the wadi El - Imra district, central Desert, Egypt: geochemistry & tectonic enviroment. Jou. Geo. Soc. Vol. 153.
- Harker, A., 1909 – The natural history of igneous rocks Methuen . London .348 PP.
- Irvine, T.N., Barager, W.R.A., 1971 - A guide to the chemical classification of the common Volcanic rocks, Can. J. Earth sei 8, 523 - 548.
- LeMaitre, R.W., Bateman, P., Keller, J., Lameyre Le Bas, H. J., Sabine, P. A., Schmid, R., Sorensen, H., Streckeisen, A., Woolley, A.R. and Zanettin, B., 1989 - A classification igneous rocks and glossary of terms, Blackwell , Oxford.
- Maniar, P.D. and Piccoli, P.M., 1989 - Tectonic discrimination of granites, Geol. Soe. Am. Bull. 101: 635 - 643.
- Middlemost, E.A.K., 1987 - Magmas and magmatic rocks, Longman.
- Middlemost, E.A.K., 1991 - Towards a comprehensive classification of igneous rocks and magmas, Earth Sci. Rev. 31: 73 - 87.
- Shand, S. J., 1974 - Eruptive rocks, their genesis, composition,classification and their relation to ore - deposits. 3rd edition, J. Wiley and Sons, New York, 488 p.
- Whalen, J.B., Currie, K.L., Chappell, B.W., 1987 - A - Type ganite: Geochemical characteristics, discrimination and petrogenesis (cont. Min. Petrol. Vol. 95).

*Geological Survey of Iran

**Earth Science, Faculty, Shahid Beheshti University.

**سازمان زمین شناسی کشور و اکتشافات معدنی کشور

**دانشکده علوم زمین ، دانشگاه شهید بهشتی

